

運輸省港湾技術研究所 正員 梅原 靖文  
 正員 ○善 功企  
 学生員 游田 浩二

## 1. まえがき

粘土が非排水条件の下でひずみ振幅が $10^3$ 以上の大さな振動を受けると、間げき水圧が発生し平均有効主応力比が減少する。このときの剛性率Gは $\sigma_m$ に比例することを明らかにした。<sup>1) 2)</sup>ここでは、Gが $\sigma_m$ 一定であれば過圧密化および間げき比の影響を受けないことについて若干の考察を行ない、さらに、圧密圧力 $\sigma_m$ および $\sigma_m$ と $G/G_0$ ～ $\sigma_m$  ( $G_0$ : 現地弹性波探査によるG) の関係について調べた結果を報告する。

## 2. 実験方法および試料

振動三軸試験装置を用いて、振動数1Hzの正弦波をひずみ制御方式によりえた。試料は川崎市鳥町で深さ20.65～21.75mから採取された不搅乱試料 ( $w_L=9.9\%$ ,  $w_p=45.6\%$ ,  $I_p=52.3\%$ ) で供試体は高さ12.5cm、直徑5.0cm寸法である。バックプレッシャー $1.0 \text{ kg/cm}^2$ ,  $\sigma_c=1.0, 2.0, 3.0 \text{ kg/cm}^2$ で24時間等方圧密し一次圧密終了確認後、非排水条件で振動実験を実施した。与えたひずみ振幅は $3 \times 10^{-4}$ ,  $7 \times 10^{-4}$ ,  $1.8 \times 10^{-3}$ ,  $4.3 \times 10^{-3}$ ,  $1.1 \times 10^{-2}$ ,  $2.3 \times 10^{-2}$ の6段階で各々200回振動を加え、1段階において発生した間げき水圧はそのままの状態で連続して振動を加えた。またGと過圧密比OCR、間げき比eとの関係を調べる実験には、慣用の三軸圧縮試験装置を伸張側載荷も可能なようになした装置を用い、再圧密した本牧粘土 ( $w_L=96.7\%$ ,  $w_p=41.5\%$ ,  $I_p=55.2\%$ ) を用いている。

## 3. 実験結果および考察

3.1.  $G \sim OCR \sim \sigma_m$ ,  $G \sim e \sim \sigma_m$  の関係 不搅乱川崎粘土のGを調べる前に塑性指数のほぼ等しい練返し本牧粘土を用いてOCR, e～Gの関係について調べた。図-1はG～OCR, e～ $\sigma_m$ の関係を調べる方法についての模式図である。圧密終了時ににおいて供試体はa～dの点に存在する。非排水状態でこの供試体に振動を加えると間げき水圧の発生により $\sigma_m$ が減少し正規状態にある各点はa'～c'～b'～a''のようにy軸に平行に移動する。c', b', a''は一種の過圧密状態と考えられ、OCRの異なるd, c', b', a''においてG～ $\sigma_m$ の関係を求めると図-2のようになる。図

-2より $G \sim \sigma_m$ が得られこの結果は正規粘土について一般にいわれていることと同じである。すなわち、OCRに無関係にGは $\sigma_m$ に比例すると考えられる。図-3はb', b'', b'''のようにy軸が一定の状態においてeがGに及ぼす影響について調べた結果である。上述のようにy軸が一定であればOCRの相違による影響はないと考え

られるのでb', b'', b'''の状態におけるGを図-3の 図-2  $G \sim \sigma_m$

ように表わしてみるとeの影響がほとんどみられない。これらの結果は $\gamma=10^3$ 程度で試験を行なった場合のものであるが、Hardin<sup>3)</sup>らは $\gamma=1.5 \times 10^3$ 以下のひずみ振幅について、OCRの大きな高塑性土を除いてGがOCRに無関係になると述べている。

3.2.  $G \sim \sigma_m \sim \sigma_m'$  の関係 不搅乱川崎粘土の実験では $\sigma_c=1.0, 2.0, 3.0 \text{ kg/cm}^2$ を用いて試験を行なった。試料の採取深さに対応する有効上被り圧は $2.0 \text{ kg/cm}^2$ であるので、 $\sigma_c=1.0 \text{ kg/cm}^2$ の場合  $OCR=2$ 、他の2つは正規状態であ

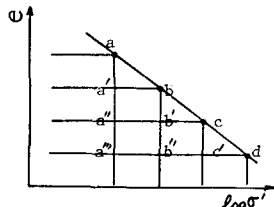
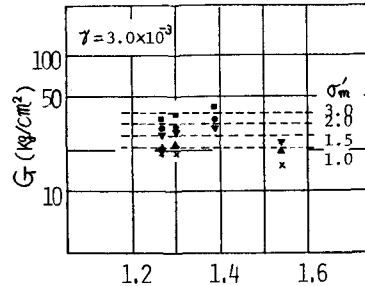
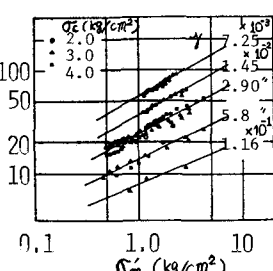


図-1 模式図

図-3  $G \sim e$

るが、3.1の結果から $G$ が $OCR$ の影響を受けないことが明らかにされたので、以後は川崎粘土についても $OCR$ の影響がないものとして整理を行なった。図-4は動的応力～ひずみ曲線( $\epsilon-\gamma$ )の骨格構造のみを表わしたもので、 $N=10, 200$ における $\epsilon-\gamma$ 曲線は、1つの供試体に段階的に $\gamma$ を与えることにより求めているので、各段階における $N$ の影響が含まれている。しかし、これを $\gamma$ 一定のときの $\epsilon-\gamma$ 曲線に描き直すと図-4中の実線のように $N$ の相違による差がみられなくなる。図-5は $G$ と $\sigma'_m$ の関係について調べたものである。不搅乱川崎粘土も本萩粘土と同様に $G$ に比例している。図-6は各々の $\gamma$ に対する $N=10, 200$ における $G$ および $\sigma'_m$ 一定条件での $G$ を求めたものである。

$N=10, 200$ における両者の値は $\gamma=10^3$ 以上ではひずみ振幅が大きくなる程差が大きくなる。これは振動中の間げき水圧の増加により $\sigma'_m$ が変化することによるものと考えられ、各々の点における間げき水圧から $\sigma'_m$ を求め、 $\sigma'_m=0.5, 1.0, 2.0, 3.0 \text{ kg/cm}^2$ における $G$ を外挿により推定すると図-6中の破線のようになり $N=10$ および $N=200$ における両者の相違はみられなくなる。図-7は図-6より $\gamma=10^4$ における $G=G_0$ を推定し、 $\sigma'_m$ 又は $\sigma'_m$ について $G/G_0$ ～ $\gamma$ の関係を求めたものである。

1000  
100  
10  
 $\gamma$

TEST  $\sigma'_m$

□ 2 1  
△ 3 2  
○ 4 3  
▲ 5 2  
▲ 6 2  
● 7 3

$N=10$

$G$  ( $\text{kg}/\text{cm}^2$ )

この場合

か $G/G_0$ は $N$ に

よって異なつ

てくるが、こ

れを図-6の破

線の $\sigma'_m=0.5, 1.0,$

2.0, 3.0  $\text{kg}/\text{cm}^2$

について調べ

ると $G/G_0$ は $\sigma'_m$

1000  
100  
10  
 $\gamma$

TEST  $\sigma'_m$

□ 2 1  
△ 3 2  
○ 4 3  
▲ 5 2  
▲ 6 2  
● 7 3

$N=200$

$G$  ( $\text{kg}/\text{cm}^2$ )

の値に無関係に図-7の実線のように一義的に決まってくる。

この結果は練返し本萩粘土、川崎粘土について得られた結果と一致している。<sup>4)</sup>なお、 $G/G_0=0.903$ とした理由は $\sigma'_m=2.0 \text{ kg}/\text{cm}^2$ に対応する深さの現地弹性波探査の結果より得られた $G_0=310 \text{ kg}/\text{cm}^2$ より $G/G_0=0.903$ になることより定めたことによる。

4.まとめ 以上の実験より次の結果が得られた。(1)練返し本萩粘土( $J_p=55.2\%$ )の $G$ は $\sigma'_m$ が一定であれば $OCR$ 、 $\epsilon$ の影響を受けない。(2)不搅乱川崎粘土の $G/G_0$ の関係は $\sigma'_m$ の値にかかわらず一義的に決まる。これらの結果が塑性指數の相違によってどのように変化するかを調べることを今後の課題としている。

5.参考文献 ①梅原、他(1976)；練返し載荷を受ける粘性土のひずみ依存性について、第31回土木学会年次学術講演会  
②梅原、他(1976)；練返し載荷を受ける海成粘土の変形特性、第11回国土施工学会 ③Hardin, B.O. et al. (1969) :  
Oscillation Modulus of Normally Consolidated Clay, closure, ASCE, SM6. ④梅原、他(1977)；粘性土の非排水強度と動的変形特性について、第12回国土施工学会 ⑤運輸省、川崎市(1973)：川崎海港トンネル

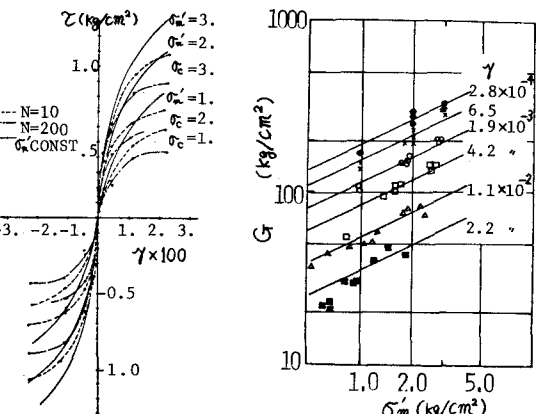


図-4  $\epsilon-\gamma$ 曲線

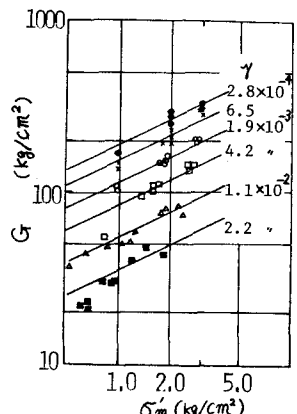


図-5  $G-\sigma'_m$

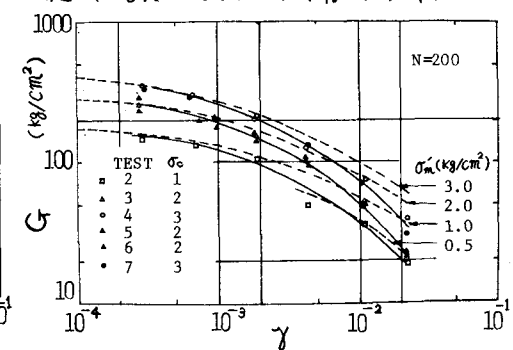


図-6 (b)  $G-\gamma-\sigma'_m, \sigma'_m$

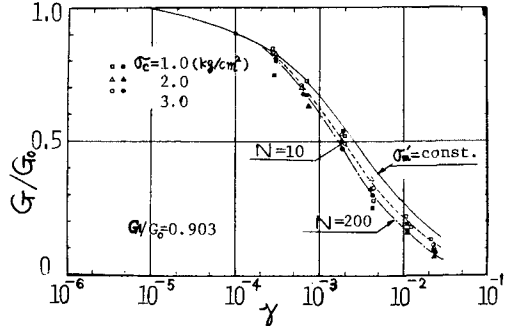


図-7  $G/G_0-\gamma-\sigma'_m$